

I-89 多層地盤のセン断波動による振動応答

北海道大工学 正員 金子厚吉

1. まえがき

地震時ににおける地動のうち支配的なものとして S 波がある。そこで地盤の振動性状を解析するにあたり著者はセン断変形のみを考慮して連続体解法を解析的に導いていた。この連続体解析法に置換する方法は Drriss & Seed⁽¹⁾ によるとおりであるが、深さ方向への振動特性の変化は層構造を考慮することで解決できた。本報告は青森県津軽大橋架設地点、北海道札幌市郊外樽川地点および北海道岩内町新井町地点といふ軟弱層或いは岩層を例にとって連続体解法により解析を行ったものである。

2. 多層地盤のセン断振動 mode 解⁽²⁾

多層地盤中海辺のセン断振動方程式は

$$P_m \ddot{u}_m + C_m \dot{u}_m = G_m u_m \quad (m=1, 2, \dots, k) \quad (1)$$

で、 P_m , C_m , G_m および u_m は震度、粘性減衰係数、セン断弾性係数および水平方向相対変位である。 $=$ これは複数分離法で mode 型固有振動数を導くことにより解ける。

$$u_m(z, t) = \sum_{n=1}^{\infty} Z_{mn}(z) \cdot T_{mn}(t) \quad (2)$$

mode 型 Z_{mn} は境界条件

$$\begin{aligned} u_m(H_m, t) &= u_{m+1}(H_m, t) \\ G_m u_m'(H_m, t) &= G_{m+1} u_{m+1}'(H_m, t) \quad \text{ただし } G_m u_m'(0, t) = 0, u_k(H_k, t) = 0 \end{aligned} \quad \left. \right\} \quad (3)$$

$$\text{より}, Z_{mn}(z) = A \left\{ I_m \cos \gamma_m(z - H_{m-1}) - L_{m-1} J_m \sin \gamma_m(z - H_{m-1}) \right\} \quad (H_{m-1} \leq z \leq H_m) \quad (4)$$

ただし、 $\gamma_m = \sqrt{P_m/G_m}$, H_m は m 層下端までの深さ, L_m は m 層の厚さ, P_m は固有振動数, $\beta_m = \alpha_m P_m$, $I_m = \beta_m L_m$, $L_{m-1} = \sqrt{P_{m-1} G_{m-1}} / P_m G_m$ は振動インピーダンス, $S_m = \sin \gamma_m$, $C_m = \cos \gamma_m$, $I_m = I_{m-1} C_{m-1} - L_{m-1} J_{m-1} S_{m-1}$, $J_m = I_{m-1} S_{m-1} + L_{m-1} J_{m-1} C_{m-1}$, $I_0 = J_0 = J_1 = 0$, $I_1 = 1$, $I_2 = C_1$, $J_2 = S_1$, $L_1 = \alpha_0 = 0$, ($m = 1, 2, \dots, k$) である。ここで P_m は R の固有振動数方程式より求められる。

$$I_{m+1}(P_m) = 0 \quad (5)$$

T_m は強制外力 $\{-f_m \ddot{g}(t)\}$ が加わる場合

$$f_m + Z_m P_m f_m + P_m^2 T_m = -R_{mn} \ddot{g} \quad (6)$$

を解いて決まる。ここで $H_m = C_m / 2 \beta_m P_m$, $\lambda_m = H_m P_m$, $P_m = P_m \sqrt{1 - \lambda_m^2}$ で $C_m/P_m = C_m/\beta_m P_m = C_m/\lambda_m P_m$ は連成率の条件に用いた。また強制項の展開係数 R_{mn} は

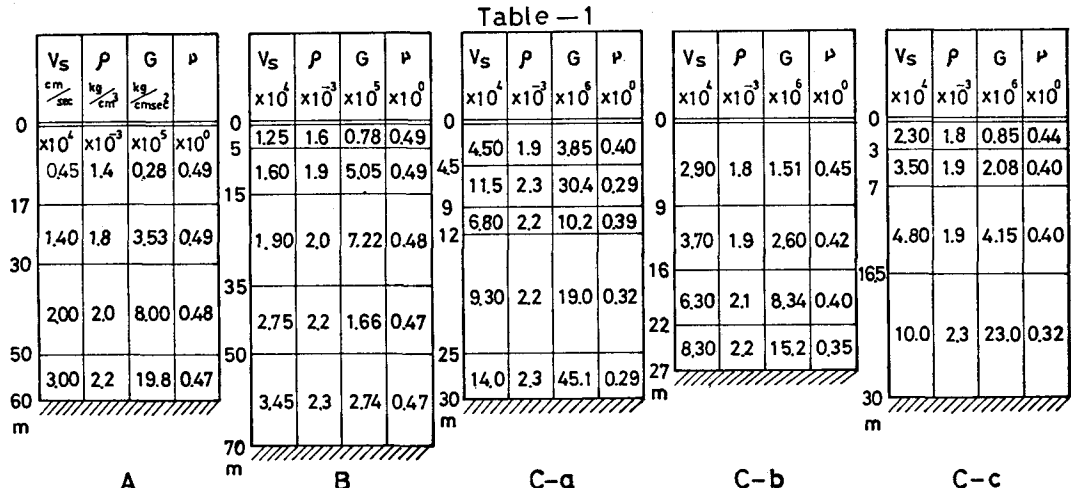
$$\begin{aligned} R_{mn} &= \int_0^1 Z_{mn}(z) dz / \int_0^1 Z_{mn}^2(z) dz \\ &= 2(J_{m+1} - L_{m-1} J_m) / \{J_m(I_m^2 + L_{m-1}^2 J_m^2) + S_m(I_m I_{m+1} - L_{m-1} J_m J_{m+1})\} \\ \text{ただし}, R_{mn} &= 2S_A(1 - C_A) / I_A(P_A - S_A C_A) \quad (m=1, 2, \dots, k) \quad (7) \end{aligned}$$

相対変位底答式 (2) で決まり、相対速度、絶対加速度は式 (2) を直ちに時間微分して求まる。

3. 多層地盤の地震応答解析結果

青森県津軽大橋架設地点 (A 地点), 北海道札幌市郊外樽川地点 (B 地点) より北海道岩内町新井町地点 (C-a, C-b, C-c の 3 地点) における表層地盤のみなる水平地層の弾性特性は表-1 に示す。

となる。表中 V_s , P はせん断波速度, poisson 比である。軟弱地盤 A 地点に比べ C 地点は岩層露出部よりあらわめて固い層からなる。また C-a 地点では中層が先の下層の半分, 四層より固い弹性特性を示してある。



次に各地点での固有周期 (T_n sec), 減衰定数 (h_n) および強制震度關係数 (R_{mn}) を表-1 に示す。尤に関しては陸續的に $C_m/P_m = 2.5$ より計算した。 R_{mn} は 10 次まで示したが実際の計算には収斂の状態により 50 次までくかれた。しかし最下端厚層成薄い A, C-a 地点では R_{mn} の収斂度が悪いため、換算係数を用いる必要がある。

この震度關係数は入力外力と底答値の相間を決める有力な factor となる。

また図-1 は各地点での固有 mode 型を載せた。地表の振幅を 1 として相対比で求めたものであるが C-a・4 次のように固い層が上方にある場合は 1 を越す mode 型が生じる。

さて各地点で自然地震或いは常時微動の波形を入力として地盤底答解析を行った以下紙面の都合により一例を示す。

Table-1

	V_s $\times 10^4$	ρ $\times 10^{-3}$	G $\times 10^5$	P $\times 10^0$		V_s $\times 10^4$	ρ $\times 10^{-3}$	G $\times 10^5$	P $\times 10^0$		V_s $\times 10^4$	ρ $\times 10^{-3}$	G $\times 10^5$	P $\times 10^0$		
0	$x 10^4$	$\times 10^3$	$\times 10^5$	$\times 10^0$		0	$\times 10^4$	$\times 10^3$	$\times 10^5$	$\times 10^0$		0	$\times 10^4$	$\times 10^3$	$\times 10^5$	$\times 10^0$
5	1.25	1.6	0.78	0.49		5	4.50	1.9	3.85	0.40		5	2.90	1.8	1.51	0.45
10	1.60	1.9	5.05	0.49		10	11.5	2.3	30.4	0.29		10	3.70	1.9	2.60	0.42
15						15	6.80	2.2	10.2	0.39		15	6.30	2.1	8.34	0.40
20	1.90	2.0	7.22	0.48		20						20	8.30	2.2	15.2	0.35
25	2.75	2.2	1.66	0.47		25						25				
30	3.45	2.3	2.74	0.47	m	30						30				
35																
40																
45																
50																
55																
60																

Table-2

n	1	2	3	4	5	6	7	8	9	10	
A	1.707	0.749	0.492	0.327	0.278	0.215	0.178	0.164	0.139	0.128	
	0.993	0.413	0.289	0.208	0.160	0.128	0.104	0.093	0.084	0.074	
	0.119	0.044	0.030	0.021	0.015	0.013	0.011	0.010	0.008	0.007	
	0.211	0.083	0.052	0.038	0.029	0.024	0.020	0.018	0.015	0.014	
	0.162	0.070	0.048	0.035	0.026	0.020	0.018	0.016	0.014	0.012	
B	0.339	0.149	0.098	0.065	0.055	0.043	0.036	0.033	0.028	0.025	
	0.198	0.082	0.057	0.041	0.032	0.025	0.021	0.018	0.017	0.015	
	0.024	0.010	0.006	0.004	0.003	0.0027	0.0023	0.0020	0.0017	0.0016	
	0.054	0.048	0.021	0.014	0.009	0.006	0.0058	0.0051	0.0045	0.0042	
	0.034	0.015	0.010	0.008	0.005	0.0045	0.004	0.0035	0.0031	0.0026	
C-a	R1	1.034	1.182	1.273	0.972	0.257	-0.191	-0.396	-0.422	-0.329	-0.081
	R2	1.179	3.074	-3.835	-1.847	-0.902	0.116	1.834	1.551	-0.223	-0.351
	R3	1.630	-2.781	-2.860	2.366	0.212	-0.404	0.016	-0.538	0.083	0.492
	R4	3.559	-2.418	4.040	-3.738	-0.939	1.747	-4.192	1.883	-0.021	-1.106
	R5	8.641	-4.620	5.523	-3.646	1.613	-2.385	5.479	-3.544	1.416	-0.631
C-b	R1	1.046	1.259	1.067	0.086	-0.378	-0.424	-0.248	0.088	0.240	0.238
	R2	1.189	8.910	-1.867	-1.194	-1.538	3.737	1.412	0.341	-1.763	-1.715
	R3	1.355	-3.708	-2.538	0.893	1.310	0.688	-0.900	-0.880	1.650	1.094
	R4	2.172	-2.185	2.696	-0.071	-0.172	-0.263	0.066	0.354	-0.737	0.192
	R5	14.44	-8.410	6.573	-1.178	1.630	-3.932	1.245	-1.660	3.881	-3.350

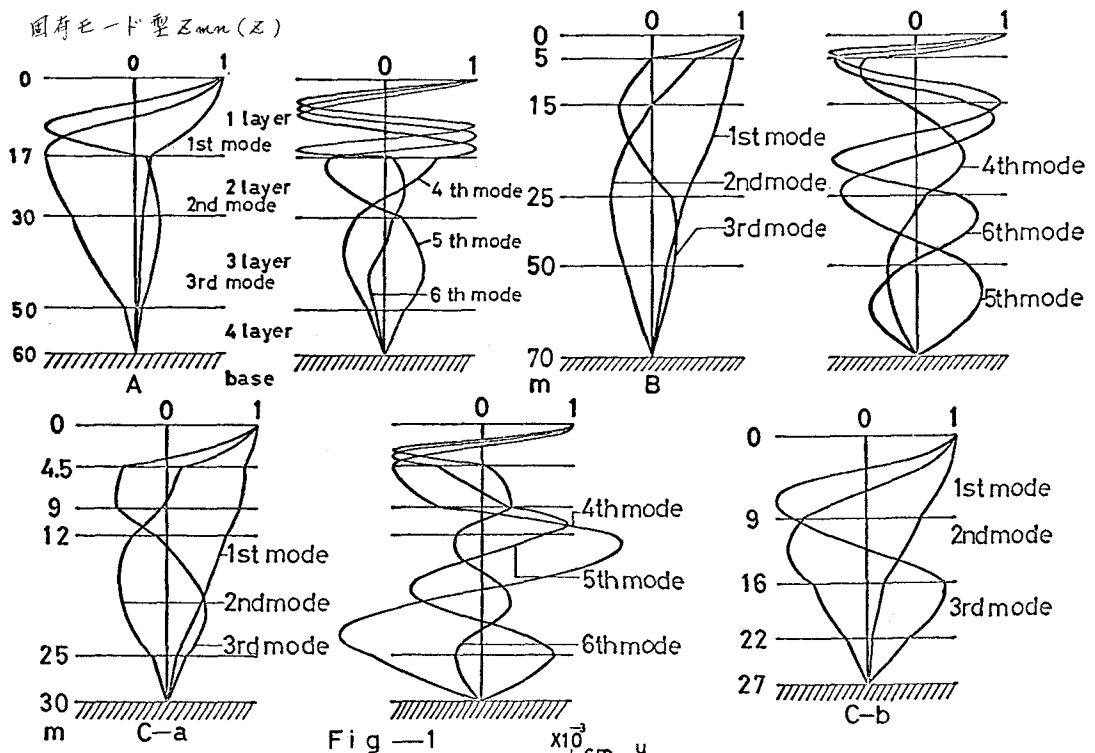


Fig -1

C-b 地点での常時微動波形 ($Z = 28.6 \text{ m}$ 基盤・EW 加速度波) を選び、最大値を 100 gal と相似に引伸ばしたものと強制外力をして用ひ、地表での応答値を示したものが図-2である。表-2 で判るよう C-b での固有周期は $T_1 = 0.211 \text{ sec}$ であるが、 $0.1 \cdot 0.2 \cdot 0.6(\text{sec})$ なる Sin 波外力につけての応答値を計算してみた。図-2 は応答波の時刻 $0.7, 1.7, 3.2 \text{ sec}$ における応答値および応答最大値を示した分布図である。

また次の図-4 は Sin 波外力によるものであるが、入力波と応答波の共振現象がはっきり表われている。図-5 は常時微動波の power spectrum であるが $0.2, 0.09 \text{ sec}^{-1} \text{ peak}$ があるが選択度が低い。そのため図-3 の応答値は小さく、振動型も 1 次～3 次と多様であることが判る。それは図-6 の地表 ($Z = 0 \text{ m}$) での応答 Spectrum からも判明する。しかるに最も選択度の高い Sin 波外力による応答は共振現象が表われ、振幅の増幅度の高いことが判る。

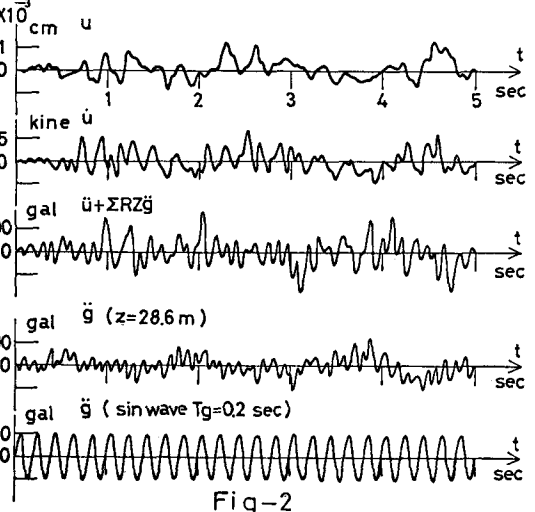


Fig -2

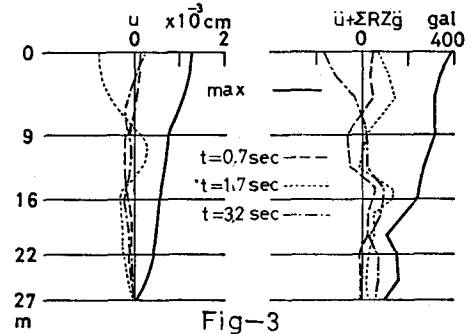
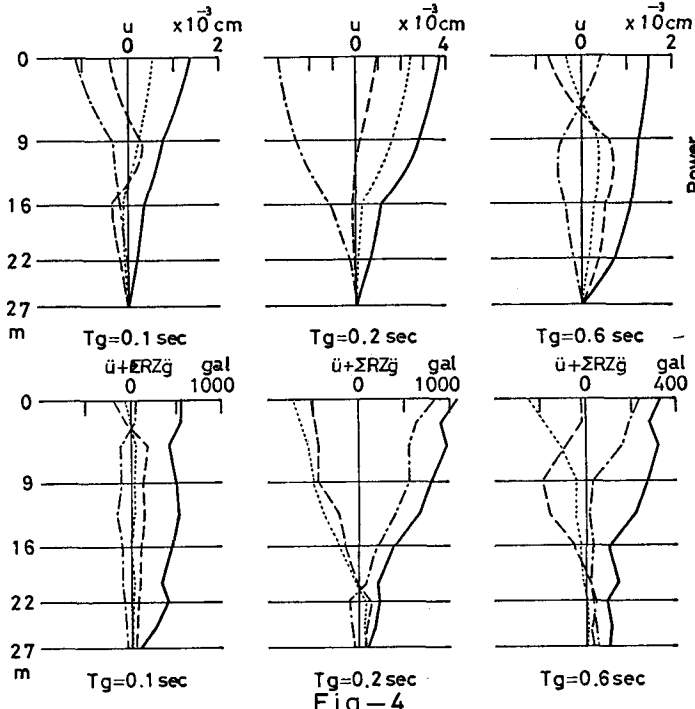


Fig -3



4. わたがき

地震時の基盤の卓越周期 (T_g) は震央距離あるかは magnitude によって変動することは経験的に金井⁽³⁾が指摘してゐる。そこで基盤の周期の卓越部分地盤の固有値と一致する場合図一⁽⁴⁾で示したように極端に選択されて増幅する。しかし、中原⁽⁴⁾の震の卓越周期選択度(収集度)に注目すれば、選択度の低い入力波に対する応答はそれほど増幅されないが、Spectrum C. peak のはっきりした選択度の高い入力波に対する応答の場合は入力波のまつ energy level が小さくとも増幅度は大きい。このことは今回の連続体解法による計算結果からも容易に説明できた。

また入力波と応答波の power spectrum density から地盤自体の周期応答関数(共振曲線)を算出しして地表のものの中を図一⁽⁴⁾に示したが、波動理論(この場合は SH 波の垂直反射理論)における N.A. Haskell 波の振動特性(増幅率)⁽⁵⁾とはむかめて良く一致した。最後に北大渡辺教授の御指導に対し感謝致します。KA COM 230-60 使用

- 参考文献 1) I.M. Polyvis & H.B. Seed, "Seismic Response Horizontal Soil Layers", proc. of A.S.C.E. 1968
 2) 金子彦吉, "多層地盤のせん断振動による波動応答および振幅分布," 第25回年次学術講演会
 3) K. Kanai, "Semi-empirical Formula for the Seismic Characteristics of the Ground," Bull. Earthq. Res. Inst., 1957
 4) 中原 浩, "地盤の周波数特性と建物の地震被害," 船 44-11 建築学会論文報告集第165号, 他,
 5) N.A. Haskell, "Crustal Reflection of plane SH Waves," Journal Geophysical Research Vol. 65 No. 12, 1960

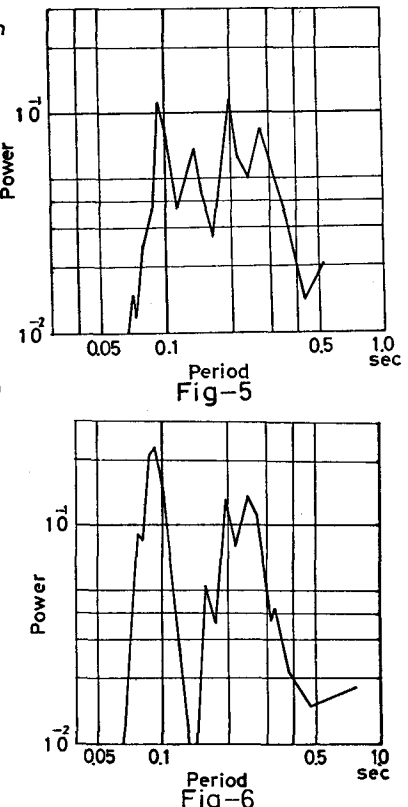


Fig-5

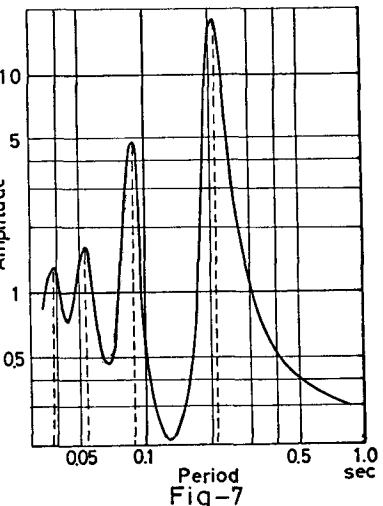


Fig-6